

## اثر ورتسک‌های تصادفی بر نرخ انتقال حرارت از یک ذره کروی

زهرا طالب‌پور<sup>۱</sup>، حمید نیازمند<sup>۲\*</sup>

۱- دانشجوی دکتری، مهندسی مکانیک، دانشگاه فردوسی مشهد، مشهد

۲- استاد، مهندسی مکانیک، دانشگاه فردوسی مشهد، مشهد

\* مشهد، صندوق پستی ۹۱۷۷۹۴۸۹۴۴ niazmand@um.ac.ir

### چکیده

اسیری در بسیاری از فرآیندهای مهندسی و صنعتی نقش مهمی را ایفا می‌کند. در این راستا بررسی نرخ انتقال حرارت از ذرات در محیطی با طیف وسیعی از ساختارهای گردابهای مانند گردابهای آشفته از اهمیت بسزایی برخوردار است. اثرات متقابل بین این ساختارهای گردابهای و ذرات کروی به طور قابل توجهی بر نرخ انتقال حرارت از ذرات و طول عمر آن‌ها تأثیر می‌گذارد. در تحقیق حاضر انتقال حرارت گذرای یک ذره کروی در تعامل با ورتسک‌های تصادفی در جریان تراکم‌ناپذیر و لرج با استفاده از حل عددی معادلات ناویر-استوکس و انرژی در  $Re=100$  با الگوریتم محاسباتی توسعه یافته مطالعه شده است. نتایج با داده‌های عددی در دسترس چهت اطمینان از صحت محاسبات در مقالات مقایسه و هماهنگی خوبی بین نتایج مشاهده شد. در ابتدا حوزه تأثیر ورتسک حول ذره با سیسیه‌سازی دو ورتسک مشابه و با در نظر گرفتن اثر آن‌ها بر عدد ناسلت تعیین شده است. پس با استفاده از این حوزه تأثیر اثر تعداد ورتسک‌های تصادفی با ساختارها و موقعیت‌های مختلف بر نرخ انتقال حرارت از ذره بررسی شده است. نشان داده شده که تنها 4 و یا 5 ورتسک می‌تواند به خوبی اثرات یک محیط گردابهای با تعداد بیشتری از ورتسک‌ها را بر نرخ انتقال حرارت از یک ذره پیش‌بینی کند، همچنین نتایج نشان می‌کند، به علاوه افزایش در اندازه ورتسک‌ها منجر به نرخ انتقال حرارت بیشتر می‌شود.

### اطلاعات مقاله

مقاله پژوهشی کامل

دریافت: ۰۸ آذر ۱۳۹۵

پذیرش: ۱۰ بهمن ۱۳۹۵

ارائه در سایت: ۱۱ اسفند ۱۳۹۵

کلید واژگان:

تعامل ورتسک- ذره

جریان گردابهای

ذره کروی

ورتسک‌های تصادفی

## The Influence of Random Vortices on the Heat Transfer Rate from a Spherical Particle

Zahra Talebpour<sup>1</sup>, Hamid Niazmand<sup>2\*</sup>

Department of Mechanical Engineering, Ferdowsi University, Mashhad, Iran  
\* P.O.B. 9177948944 Mashhad, Iran, niazmand@um.ac.ir

### ARTICLE INFORMATION

Original Research Paper  
Received 28 November 2016  
Accepted 29 January 2017  
Available Online 01 March 2017

**Keywords:**  
Vortex-Particle Interaction  
Vortical Flow  
Spherical Particle  
Random Vortexes

### ABSTRACT

Spray plays an important role in many engineering and industrial processes. Therefore, it is important to investigate the heat transfer rate of particles in an environment with a wide spectrum of vortical structures resembling turbulent eddies. The interaction between these vortical structures and spherical particles significantly influences the heat transfer rate of particles and their life time. In the present study, transient heat transfer of a spherical particle interacting with random vortexes in an incompressible and viscous flow has been studied using numerical solution of the Navier-Stokes and energy equations at  $Re=100$  by the developed computational algorithm. In order to ensure the accuracy of the calculation, the results are compared with numerical data available in literature, where good agreements were observed. The influential vortex domain around the particle was first identified with simulating two similar vortexes based on their impact on the Nusselt number. Then, using this domain of influence, effects of the number of random vortexes with different structures and positions on the heat transfer rate of the particle was considered. It was found that only 4 or 5 vortexes can well predict the influences of a vortical domain with larger number of vortexes on the heat transfer rate of a particle. The results also indicate that for 4 or more vortexes the Nu varies in a limited range of that for the case with no vortex flow. Furthermore, increasing vortexes sizes, leads to the higher heat transfer rates.

خشک‌کن‌های پاششی و ...) اشاره کرد. این جریان‌ها به طور ذاتی شامل ساختارهای چرخشی متعددی که به دلیل نحوه پرشدن محفظه ایجاد شده، است. ذرات پاشیده شده در این جریان‌ها نیز به دلیل قطر و سرعت متوسط پاشش، رینولدزی در حدود ۱۰-۵۰۰ خواهند داشت که می‌توان اذعان داشت یک جریان آرام را تجربه می‌کنند. بررسی چنین جریان‌هایی که آثار جریان

کاربردهای بسیار متنوع جریان اطراف یک قطره یا ذره کروی در صنایع مختلف آن را به حوزه تحقیق برای بسیاری از پژوهشگران و محققان تبدیل کرده است. از جمله کاربردهای این حوزه می‌توان به مطالعه جریان ناپایدار در اطراف قطرات و ذرات تزریق شده درون محفظه (موتورهای احتراق داخلی،

### ۱- مقدمه

Please cite this article using:

Z. Talebpour, H. Niazmand, The Influence of Random Vortices on the Heat Transfer Rate from a Spherical Particle, *Modares Mechanical Engineering*, Vol. 17, No. 3, pp. 93-104, 2017 (in Persian)

برای ارجاع به این مقاله از عبارت ذیل استفاده نمایید:

آن‌ها در مطالعه‌ای دیگر اثر تغییر در شرایط اولیه و هندسی ورتکس را بر رفتار زمانی نیروهای پسا و برآی وارد بر ذره کروی (و یا قطره‌ی جامد) از طرف میدان جریان بررسی کردند. مشاهده شده که حد تغییرات محلی در نیروهای وارد بر ذره در طی مدت زمانی که هسته ورتکس در نزدیکی آن قرار دارد تقریباً  $\pm 30\%$  در ضربی پسا و  $\pm 200\%$  در ضربی برآ در مقایسه با عبور جریان از روی یک ذره چرخشی و بدون تعامل با ورتکس است [6].

کیم و همکاران [7] تعداد ورتکس‌ها را با افزایش به 2 ورتکس و با محدود کردن مطالعه خود به بررسی تعامل یک جفت ورتکس مشابه با یک ذره کروی ثابت، اثر تغییر موقعیت و شرایط اولیه هسته ورتکس‌ها را بر ضرایب آبروپارامتریک ذره بررسی کردند و روابطی بین پارامترهای تأثیرگذار دو ورتکس و ضربی برای ذره به دست آوردند.

طالب‌پور و نیازمند [8] در مطالعه خود با استفاده از مدل ساده‌ای از یک میدان جریان گردابه‌ای و شبیه‌سازی تعامل بین دو ورتکس مشابه و یک قطره جامد (ذره کروی) به بررسی اثر چرخش ذره حول محورهای متفاوت بر نرخ انتقال حرارت از آن بهازی جهت‌های گردش متفاوت برای ورتکس‌ها پرداخته‌اند.

مروری بر کارهای گذشته نشان می‌دهد که محققان تاکنون به بررسی اثر تعامل تنها یک و دو ورتکس با یک ذره کروی در حوزه‌های سرعت و دما پرداخته‌اند. در این مطالعات نیز در بررسی اثر تغییر یکی از پارامترهای ورتکس بر دینامیک و رفتار حرارتی ذره سایر پارامترهای آن بهصورت ثابت در نظر شده است. درحالی که برای نزدیک شدن به طبیعت اصلی جریان‌های گردابه‌ای با در نظر گرفتن جریانی آرام و مدل‌سازی ورتکس که ماهیتی آشفته است. باید با در نظر گرفتن تعداد بیشتری از این ساختارهای آشفته با داشتن شرایط مختلف نسبت به یکدیگر، اثرات مربوط به آشفته‌ی بررسی شود؛ ورتکس‌هایی با اندازه، موقعیت اولیه، قدرت و جهت گردش متفاوت که می‌توانند سبب تقویت و یا کاهش اثرات یکدیگر در میدان جریان شوند.

تاکنون در هیچ کدام از پژوهش‌های عددی که به بررسی اثر تعامل ورتکس با ذره پرداخته شده، تغییر در حوزه حرارتی در اطراف ذره در میدان جریانی با حضور تعداد بیشتر از دو ورتکس با شرایط و ساختارهای تصادفی (رندولم<sup>۱</sup>) نسبت به یکدیگر مطالعه نشده است. در این راستا برخلاف کار انجام شده در مرجع [8] در این مقاله برای نخستین بار سعی بر حل عددی حوزه دما با حضور تعداد بیشتری از ورتکس‌ها با شرایط و ساختارهای تصادفی، تعداد متغیر بین 4-6 ورتکس و یک ذره کروی ثابت در یک میدان جریان آرام، لزج و تراکمناپذیر شده است. همچنین نشان داده شده که این ساختارهای گردابه‌ای تا چه اندازه می‌توانند بر رفتار و دینامیک یک ذره تأثیر گذارند و این که چه تعداد ورتکس کافی است تا بتوان رفتار یک ذره را در هندسی گردابه‌ای بررسی کرد.

برای تعیین حالت‌های تصادفی برای ساختار و موقعیت‌های متفاوت برای ورتکس‌ها در میدان جریان، ابتدا حوزه محاسباتی برای شبیه‌سازی ورتکس‌های تصادفی در نزدیکی ذره تخمین زده می‌شود. در این راستا با شبیه‌سازی دو ورتکس مشابه و با تغییر در موقعیت اولیه مرکز هسته آن‌ها محدوده بیشترین اثرگذاری دو ورتکس بر یکدیگر در نزدیکی ذره به دست می‌آید. سپس با شبیه‌سازی ورتکس‌ها در این حوزه، به بررسی اثر حضور بیشتر آن‌ها بر نرخ انتقال حرارت از ذره در میدان جریان پرداخته می‌شود. معادلات حاکم بر مسئله در دستگاه مختصات عمومی در  $Re=100$  و  $Pr=1$  به روش عددی حل می‌شوند. نتایج بهصورت نمودارهایی برحسب مقادیر

آرام و درهم در آن‌ها حضور دارند، نیاز به مدل‌سازی دارد. به عنوان نمونه برای یک ذره که جریان آرام  $Re=100$  دارد، ولی در محیطی مدل می‌شود که دارای گردابه‌هایی با توزیع تصادفی شبیه محیط درهم است. ساختارهای گردابه‌ای را برای مدل‌سازی می‌توان بهصورت مجموعه‌ای از ورتکس‌هایی در نظر گرفت که می‌توانند باعث تغییر در رفتار و دینامیک ذره در میدان جریان شوند.

تاکنون مطالعات بسیاری بر اثرات متقابل یک ورتکس بر دینامیک یک ذره کروی انجام شده است؛ هرچند تعداد پژوهش‌هایی که به بررسی رفتار ذره در یک محیط آشفته با حضور تعداد بیشتری از این ساختارهای گردابه‌ای پرداخته‌اند بسیار محدود است.

شكل و هندسه مدل گردابه مجزا موضوعی مهم در میدان جریان است. از میان تحقیقات گسترده‌ای در رابطه با ارائه ساختارهای گردابه‌ای سازمان یافته و یا ساختارهای منسجم در جریان‌های آشفته وجود داشته است. شبیه‌سازی یک ساختار گردابه‌ای بهصورت یک ورتکس که یکی از انواع آن‌ها در جریان‌های لزج، ورتکس رنکین<sup>۲</sup> [1] نامیده می‌شود، مورد توجه بسیاری از پژوهشگران قرار گرفته است. در ادامه پژوهش‌هایی که چگونگی رفتار یک ذره کروی در یک محیط گردابه‌ای را مورد بررسی قرار داده‌اند، به اختصار مرور می‌شوند.

کیم و همکاران [2] برخورد یک ورتکس استوانه‌ای با یک ذره کروی را در میدان جریان لزج و تراکمناپذیر در محدوده اعداد رینولدز  $20 \leq Re \leq 100$  بررسی کردند. آن‌ها علاوه‌بر بررسی تغییرات بهوجود آمده در نیروهای پسا، برآ<sup>۳</sup> و مومنتوم وارد بر ذره در طی عبور ورتکس استوانه‌ای از روی آن، مقایسه‌ای از توزیع سرعت مماسی در یک ورتکس استوانه‌ای و یک ورتکس نقطه‌ای ارائه دادند که نشان می‌دهد مقدار سرعت اولیه القائمه به وسیله ورتکس استوانه‌ای بر مرکز آن برابر صفر است و در فاصله بزرگ‌تر از شعاع هسته آن، مقدار سرعت القایی به مقادیر ورتکس نقطه‌ای (که بیشترین مقدار سرعت و ورتیسیتی در مرکز آن است) نزدیک می‌شود.

مسعودی و سیریگانو [3] به مطالعه میدان دمای اطراف ذره در طی برخورد با یک ورتکس استوانه‌ای در محدوده اعداد رینولدز  $20 \leq Re \leq 100$  پرداخته‌اند. آن‌ها با حل عددی معادلات ناویر-استوکس و انرژی برای هر دو فار گاز و مایع (ذره)، اثر تغییر پارامترهایی از قبیل اندازه هسته ورتکس، قدرت و موقعیت اولیه آن در میدان جریان و همچنین اثر عدد رینولدز را بر ضربی انتقال حرارت ذره مورد بررسی قرار دادند.

همان محققان در مطالعه‌ای دیگر اثر ترکیبی تعامل یک ورتکس با ذره و طبقه‌بندی دمای میدان جریان را بر عدد ناسلت<sup>۴</sup> بررسی کردند. در مقایسه با نتایج مربوط به حضور یک ورتکس در میدان دمای یکنواخت [3]، طبقه‌بندی دمای سیال اثرات شدیدی بر نرخ انتقال حرارت ذره کروی داشته است؛ به‌گونه‌ای که الگوی گذایی عدد ناسلت کاملاً متفاوت با نتایج در میدان دمای یکنواخت به دست آمده است [4].

نیازمند و رنسکیزبولوت [5] اثرات متقابل یک ورتکس استوانه‌ای با یک قطره (و یا ذره کروی مایع) در حال چرخش را در یک میدان جریان لزج و تراکمناپذیر به روش عددی در محدوده اعداد رینولدز  $20 \leq Re \leq 300$  و سرعت چرخشی بی بعد  $0 \leq Q \leq 0.5$  بررسی کردند. آن‌ها نشان دادند که با در نظر گرفتن شار جرمی بر سطح قطره  $Nu$  به مقدار قابل توجهی کاهش می‌یابد.

<sup>1</sup> Rankin

<sup>2</sup> Drag

<sup>3</sup> Lift

<sup>4</sup> Nusselt Number

<sup>5</sup> Random

نایابی‌های میدان جریان به دلیل سرعت ثابت جریان تنها مربوط به حضور ورتكس‌ها و رفتار دنباله ذره کروی است. محور ورتكس‌های استوانه‌ای با شاعع‌های متفاوت  $a$  و با طول بینهایت در فواصل اولیه مختلف  $\varepsilon$  ( $\varepsilon=y/R$ ) از محور  $x$  قرار گرفته‌اند. در بررسی تعامل یک و چند ورتكس با ذره، نخستین ورتكس در فاصله محوری 10 برابر شاعع ذره از مرکز آن در جریان بالادست قرار می‌گیرد.

در این فاصله اثر ورتكس بر ذره قابل چشم‌پوشی است؛ زیرا در این موقعیت مقدار سرعت ناشی از ورتكس در نزدیکی ذره کمتر از 2% سرعت جریان آزاد است. یادآور می‌شود که صفحه  $(y-x)$  صفحه تقارن در این پژوهش است.

این ورتكس‌ها که ورتكس رنکین نیز نامیده می‌شوند همان ویژگی‌هایی را دارد که ورتكس توسط کیم و همکارانش [2] به کار رفته است. در این راستا برای یک ورتكس شاعع اولیه  $\sigma=a/R$  است که درون این هسته سرعت القا شده از مقدار صفر در مرکز هسته به ماکریتم سرعت مماسی در شاعع  $r=a$  رسید که با  $V_{max}$  (یعنی بعدشده به وسیله  $U_\infty$ ) نشان داده می‌شود. میدان سرعتی در بیرون از این هسته  $(r>a)$  توسط ورتكس ایجاد شده که در  $r \rightarrow \infty$  ناپذید می‌شود. هر ورتكس به صورت یک ورتكس سه‌بعدی استوانه‌ای در حوزه حل ایجاد می‌شود که باتابع جریان به صورت رابطه (2) قابل بیان است [2].

$$\psi(x, y, z, t=0) = -\frac{I_0}{2\pi} \ln[(x-x_0)^2 + (y-y_0)^2 + \sigma^2] \quad (2)$$

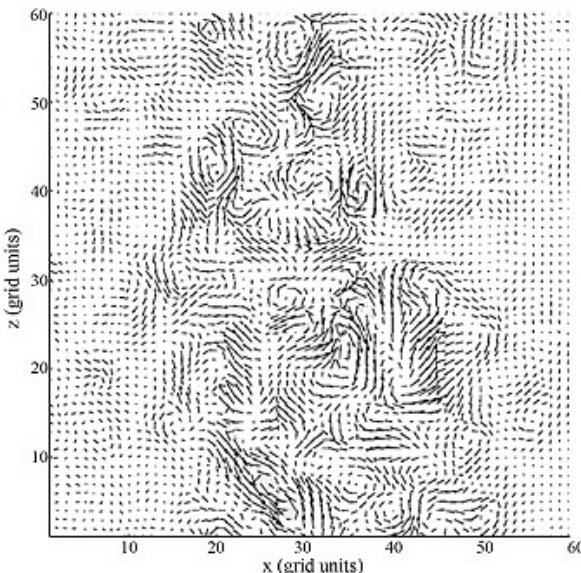


Fig. 2 Vortexes obtained by high-pass filtered field [9]

شکل 2 ورتكس‌های حاصل از میدان فیلترشده‌ی بالاگذر [9]

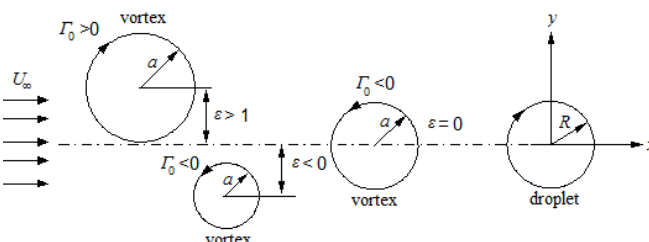


Fig. 3 Flow geometry and coordinates

شکل 3 هندسه جریان و دستگاه مختصات

متوسط عدد ناسلت و حالت‌های به دست آمده برای 4, 5 و 6 ورتكس گزارش می‌شوند.

## 2- تعریف مسئله

### 2-1- استخراج یک ورتكس از یک جریان گردابی

چرخش یک المان از سیال به صورت کرل بردار سرعت تعريف می‌شود. به عبارت دیگر چرخش  $\vec{\omega}$  به صورت رابطه (1) بیان می‌شود.

$$(1) \quad \vec{\omega} = \vec{\nabla} \times \vec{u}$$

بردار چرخش به طور عددی دو برابر سرعت زاویه‌ای دوران المان سیال حول محور خودش است. خط چرخش خطی است که مماس بر آن در هر نقطه موازی بردار چرخش است؛ بنابراین برای هر خم بسته در میدان جریان، هر نقطه روی خم دارای خط چرخشی است که از آن نقطه می‌گذرد و یک سری از خطوط چرخش که به وسیله یک خم بسته تعريف می‌شوند یک مجرای چرخش و به عبارتی دیگر یک ورتكس استوانه‌ای را تشکیل می‌دهند. شکل 1 یک ورتكس استوانه‌ای مشکل از چندین خط چرخش را نشان می‌دهد.

گراوال و پرساد [9] از تعريف راینسون و همکاران [10] برای تعريف یک ورتكس استفاده کرده‌اند: «هنگامی که خطوط جریان نگاشته شده بر صفحه عمود بر هسته، در یک قاب مرتع در حال حرکت به همراه مرکز هسته ورتكس در نظر گرفته شوند و یک الگوی تقریباً دایروی یا مارپیچی را از خود به نمایش گذارند بد ورتكس از آن استخراج می‌شود». ورتكس‌ها با استفاده از تکنیک فیلترکردن بالاگذر<sup>۱</sup> به دست می‌آیند (آدريان و همکاران [11] و آگراوال و پرساد [12]) که در آن میدان لحظه‌ای ابتدا با استفاده از تابع کرنل گاوی هموارسازی می‌شود؛ سپس میدان پایین‌گذر به دست آمده (که تغییرات فرکانس بالای آن فرونشانده شده‌اند) از میدان سرعت اصلی کاسته می‌شود و در نتیجه ورتكس‌ها آشکار می‌شوند. شکل 2 ورتكس‌ها در میدان فیلترشده بالاگذر نشان می‌دهد (ورتكس‌های با اندازه و جهت‌های گردش متفاوت در شکل 2 دیده می‌شوند که بر میدان سرعت یکدیگر تأثیر گذاشته‌اند).

## 2- توصیف جریان و مدل‌سازی ریاضی ورتكس

یک نمایش ساده از هندسه و مختصات جریان در اطراف ذره در تعامل با سه ورتكس با ساختار و شرایط اولیه متفاوت در زمان  $t=0$  در شکل 3 نشان داده شده است. ذرهای جامد و تک دما به شاعع  $R$  به طور ناگهانی در یک جریان آرام و یکنواخت قرار گرفته است. فرض شده که ذره در میدان جریان ثابت است و جریان آزاد با سرعت  $U_\infty$  (سرعت نسبی بین ذره و جریان اصلی) در جهت مثبت محور  $x$  و حامل ورتكس‌ها از روی ذره عبور می‌کند و

vortex tube

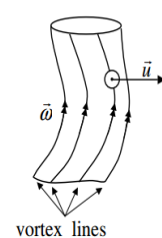


Fig.1 Structure of a vortex tube

شکل 1 ساختار یک ورتكس استوانه‌ای

<sup>1</sup> High-Pass Filtering

$$\overline{Nu} = \frac{1}{(\tau_2 - \tau_1)} \int_{\tau_1}^{\tau_2} Nu(\tau) d\tau \quad (11)$$

### 3- شرایط مرزی و شرایط اولیه

شبکه در مجاورت سطح ذره با ضریب انبساط در جهت شعاعی ( $r$ ) به دلیل تغییرات شدید در این ناحیه ریز شده است. مرز خارجی حوزه مورد بررسی یا  $\max$  که در رینولدزهای متوسط معمولاً به فاصله 20 برابر شعاع ذره دورتر از آن در نظر گرفته می‌شود به دو قسمت جریان ورودی (از نقطه سکون جلویی  $\theta_{out}$ ) و جریان خروجی از  $\theta_{out}$  تا نقطه سکون پشت ذره تقسیم شده است. زاویه خروج ( $\theta_{out}$ ) در  $Re=100$  با توجه به تجربه دیگر محققان [13,6,21] 120 درجه است. شرایط مرزی در قسمت ورودی مرز خارجی به صورت سرعت یکنواخت ورودی ( $u=1, v=w=0$ ) و  $T=0$  در قسمت خروجی مرز خارجی ( $\theta \geq 120^\circ$ ) به صورت گرادیان صفر تمامی مؤلفه‌های سرعت و دما در راستای خطوط جریان در نظر گرفته شده است. مرزهای  $=1$  و  $\max$  بر محور  $x$  دستگاه کارتزین قرار دارند و از متوسط‌گیری سمتی<sup>1</sup> مرتبه اول برای به دست آوردن این نقاط استفاده شده است. در مرز متناوب یا جهت  $\theta=90^\circ$  دو نقطه از شبکه با هم تداخل دارند و شرایط مرز متناوب در این جهت تحمیل شده، و همچنین روی سطح ذره شرط مرزی تساوی سرعت‌های مماسی و دمای ذره و دمای سیال با شرط عدم لغزش برقرار است. عدد وبر (We= $\rho U_\infty^2 D / \sigma$ ) که به صورت تابعی از چگالی سیال، قطر ذره کروی، تنش سطحی ذره ( $\sigma$ ) و سرعت جریان یکنواخت (با توجه به ثابت بودن ذره در جریان) و با فرض به اندازه کافی بزرگ‌بودن تنش سطحی ذره، این عدد کوچک است و ذره در طی تعامل با ورتكس‌ها به شکل کره باقی می‌ماند.

با توجه به آن‌چه تا این جا بیان شده، در زمان  $t=0$  حوزه سرعت، فشار و دما بدون در نظر گرفتن ورتكس به صورت  $u=1, v=w=0, T=0$  و  $P=0$  دارند. جریان آزاد یکنواخت است که با حضور ورتكس‌ها در میدان جریان، مقادیر اولیه مؤلفه‌های سرعت و فشار با استفاده از انتساب میدان جریان القایی توسعه یک ورتكس بر جریان آزاد یکنواخت به صورت رابطه (12) خواهد شد.

$$u_{t=0} = 1 + u_0, \quad v_{t=0} = v_0, \quad w_{t=0} = p_0, \quad p_{t=0} = p_0 \quad (12)$$

که در معادله (6) داده شده است.

### 3- الگوریتم حل عددی

گسته‌سازی معادلات با استفاده از روش حجم کنترلی و در یک دستگاه مختصات عمومی ( $\xi, \eta, \zeta$ )، که در واقع در این پژوهش با دستگاه مختصات کروی ( $r, \theta, \varphi$ ) هم‌راستاست با در نظر گرفتن فاصله‌های یکنواخت اولیه ( $\Delta r, \Delta \theta, \Delta \varphi$ ) انجام شده است. از امتیازات الگوریتم به کار گرفته شده این است که نیازی به استفاده از شبکه جریان جایه‌جا شده نیست و تمام متغیرها به گره‌هایی که حجم‌های کنترلی در اطراف آن‌ها ساخته می‌شوند، نسبت داده می‌شود. برای به دست آوردن خصوصیات در سطح هر حجم کنترلی از متوسط‌گیری استفاده شده است. گسته‌سازی مشتقات روابط حاکم به صورت گسته‌سازی مشتقات زمانی با استفاده از طرح وارونه سه‌نقطه‌ای<sup>2</sup> با دقت مرتبه دوم انجام شده و بسط تفاضل مرکزی برای گسته‌سازی ترم‌های لزجت استفاده شده است. بسط تفاضل مرکزی به روش اصلاح عموق<sup>3</sup> برای ترم‌های جایه‌جا پس از خطی‌سازی آن‌ها با استفاده از بهترین تقریب موجود مؤلفه‌های سرعت از تکرار قبل به کار رفته است.

در آن  $\Gamma_0 = 2\pi\sigma V_{max}$  گردش اولیه ورتكس در ساعت  $a$  که در گردش ساعت گرد مثبت فرض شده،  $x_0$  و  $y_0$  نیز موقعیت اولیه مرکز هسته ورتكس در صفحه ( $x-y$ ) است. با توجه به خطی‌بودن معادله تابع جریان ارائه شده و استفاده از اصل برهمنهی تابع جریان به صورت معادله (3) برای  $n$  ورتكس در میدان جریان است [7].

$$\psi_t(x, y, z, t=0) = - \sum_{i=1}^n \frac{\Gamma_i}{2\pi} \ln[(x-x_i)^2 + (y-y_i)^2 + \sigma_i^2] \quad (3)$$

میدان سرعت اولیه حاصل از یک ورتكس با روابط (5,4) بیان می‌شود.

$$u_0(x, y, z, t=0) = \frac{\partial \psi}{\partial y} = - \frac{\Gamma_0}{\pi} \frac{y - y_0}{[(x - x_0)^2 + (y - y_0)^2 + \sigma^2]} \quad (4)$$

$$v_0(x, y, z, t=0) = \frac{\partial \psi}{\partial x} = - \frac{\Gamma_0}{\pi} \frac{x - x_0}{[(x - x_0)^2 + (y - y_0)^2 + \sigma^2]} \quad (5)$$

میدان فشار اولیه تحمیل شده توسط یک ورتكس نیز از تعادل شتاب گریز از مرکز با گرادیان فشار در جهت شعاعی به صورت رابطه (6) به دست می‌آید.

$$p_0(x, y, z, t=0) = - \frac{\Gamma_0^2}{2\pi^2} \frac{1}{[(x - x_0)^2 + (y - y_0)^2 + \sigma^2]} \quad (6)$$

### 3- معادلات حاکم

معادلات حاکم شامل معادله پیوستگی، مومنتوم و انرژی برای جریان آرام سیال نیوتینی با خواص ثابت جهت تعیین دما، فشار و مؤلفه‌های سرعت به صورت روابط (9-7) است.

$$\int_A \vec{V} \cdot \vec{n} dA = 0 \quad (7)$$

$$\frac{\partial}{\partial \tau} \int_V \vec{V} dV + \int_V \vec{V} \vec{V} \cdot dA = - \int p \vec{n} dA + \frac{2}{Re} \int_A \nabla \vec{V} \cdot \vec{n} dA \quad (8)$$

$$\frac{\partial}{\partial \tau} \int_V T dV + \int_A T \vec{V} \cdot \vec{n} dA = \frac{2}{Re Pr} \int_A \vec{\nabla} T \cdot \vec{n} dA \quad (9)$$

$\vec{V}$  و  $\vec{n}$  به ترتیب مساحت المان، بردار سرعت و بردار یکه در جهت عمود بر سطح المان است. این معادلات با استفاده از شعاع ذره  $R$  و سرعت جریان آزاد  $U_\infty$  به ترتیب به عنوان طول مشخصه و سرعت مشخصه بی بعد شده‌اند.  $\tau$  مقیاس زمانی که برای آن رابطه  $\tau = t U_\infty / R$  را داریم و  $t$  زمان است که در این مطالعه گام زمانی بی بعد  $\Delta \tau = 0.015$  در نظر گرفته شده است. عدد رینولدز براساس قطر ذره ( $D$ ) به صورت  $Re = U_\infty D / \nu$  تعریف می‌شود که در آن  $\nu = \mu / \rho$  (دما  $\mu$  و  $\rho$  به ترتیب ویسکوزیته دینامیکی و چگالی سیال) ویسکوزیته سینماتیکی است. دما بی بعد سیال در روابط حاکم نیز به صورت  $T = (T_f - T_\infty) / (T_s - T_\infty)$  تعریف می‌شود که دمای سیال،  $T_\infty$  دمای جریان یکنواخت ورودی و  $T_s$  دمای سطح ذره کروی است.

برای محاسبه نرخ انتقال حرارت لحظه‌ای از مقدار متوسط آن بر سطح ذره استفاده می‌شود که توسط عدد ناسلت گذرا ( $Nu$ ) به صورت رابطه (10) بیان می‌شود.

$$Nu(\tau) = \frac{hD}{k} = \frac{1}{A} \int_A \vec{\nabla} T \cdot \vec{n} dA \quad (10)$$

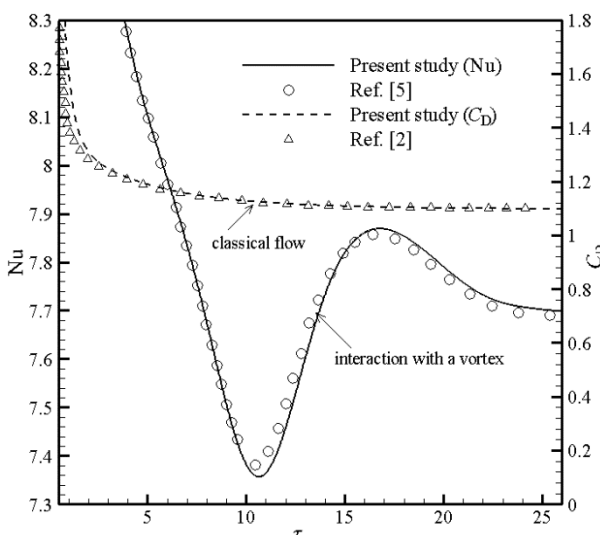
و  $k$  به ترتیب ضرایب انتقال حرارت جایه‌جا و هدایتی است. متوسط زمانی عدد ناسلت نیز در طی دوره ( $\tau_2 - \tau_1$ ) در طول تعامل ورتكس‌ها با ذره کروی به صورت رابطه (11) محاسبه می‌شود.

نزدیکی ذره تخمین زده می‌شود. با شبیه‌سازی ورتكس‌ها در این حوزه اثر حضور بیشتر آن‌ها با داشتن ساختار و موقعیت‌های تصادفی که از تعداد 4 تا 6 ورتكس متغیر است بر نرخ انتقال حرارت از ذره برسی می‌شود. در نهایت به بررسی اثر اندازه ورتكس‌ها و فضای اشغال شده توسط آن‌ها تنها با در نظر گرفتن 4 ورتكس بر ضریب انتقال حرارت ذره کروی پرداخته می‌شود.

### 5- ساختار جریان

در شکل 5 یک نمای کلی از الگوهای ناپایدار حرارتی در طی تعامل به ترتیب از چپ به راست 4، 5 و 6 ورتكس با یک ذره کروی آورده شده است که مجموعه‌ای از خطوط دما ثابت را در اطراف ذره و همچنین ساختار جریان در زمان  $\tau = 0$  را نشان می‌دهد. کانتورها در هشت زمان بی‌بعد  $= 1, 2, 6, 10, 12, 15, 21$  و 30 با شرایط اولیه یکسان  $= \pm 1$  در  $V_{max} = 0.4$  و  $\sigma = 0.4$  در  $Re = 100$  برای ورتكس‌ها رسم شده‌اند. با توجه به شکل، ورتكس‌هایی که در بالا و پایین محور  $x$  قرار گرفته به ترتیب گردشی درجه پادساعت‌گرد ( $\Gamma < 0$ ) و ساعت‌گرد ( $\Gamma > 0$ ) دارند.

ورتكس‌ها هم‌دمای با جریان سیال است؛ بنابراین اختلالات دمایی در میدان جریان تولید نمی‌کنند. موقعیت ورتكس‌ها نسبت به ذره کروی تنها در زمانی که با لایه مرزی حرارتی ذره و دنباله آن تعامل دارند، قابل مشاهده است. ذره نیز به طور ناگهانی در میدان جریان در همان زمانی که ورتكس‌ها در فواید از مرکز ذره در جریان بالا دست آن تعریف شده قرار گرفته است. همان‌طور که ورتكس‌ها با جریان یکنواخت به سمت ذره حرکت می‌کنند، مرز حرارتی نازکی در زمان  $\tau = 1$  در اطراف آن تشکیل شده است. آن‌ها در زمان  $\tau = 8$  به ناحیه سکون جلویی ذره می‌رسند که لایه مرزی حرارت در اطراف ذره در این لحظه بیش از زمان  $\tau = 6$  توسعه یافته و دنباله آن به سمت جریان پایین‌دست کشیده شده است. یادآور می‌شود ورتكس‌ها با جهت گردش پیکسان و با حرکت به سمت ذره به صورت یک ورتكس با یکدیگر ترکیب می‌شوند. در ادامه در حالی که ورتكس‌ها به سطح ذره نزدیک می‌شوند ورتكس‌های بالایی با گردش پادساعت‌گرد از روی نیم‌کره بالایی ذره و



**Fig. 4** Time variation of the heat transfer coefficient of particle interacting with a vortex and its drag coefficient in classical flow in comparison with results from other researchers at Reynolds 100

شکل 4 تغییرات مقدار متوسط ضریب انتقال حرارت ذره در تعامل با یک ورتكس و ضریب پسای آن در جریان کلاسیک در مقایسه با نتایج دیگر محققان در رینولدز 100

جملات تفاضلی شده معادلات حاکم در هر گام زمانی با استفاده از الگوریتم حل ماتریس سه‌قطري به صورت همزمان حل می‌شوند. حل معادلات توسط برنامه رایانه‌ای توسعه یافته توسط نویسنده‌گان به زبان فرترن صورت گرفته است.

جریان سیال به دلیل این که اغلب سرعت حرکت ذرات در هوا کم و عدد ماخ مربوطه کوچک‌تر از 0.3 است، تراکم‌ناپذیر در نظر گرفته می‌شود. محاسبه میدان فشار یکی از مشکلاتی که در حل معادلات ناوبر- استوکس در این نوع از جریان‌ها به دلیل نداشتن یک رابطه مستقل زمانی برای محاسبه فشار است. برای محاسبه توزیع زمانی فشار نیاز به معادله‌ای صریح است که شامل عبارت فشار باشند، بنابراین از یک روش مشابه پژوهشکن<sup>1</sup> استفاده شده است که نخستین بار توسط چورین از دانشگاه برکلی در سال 1968 ارائه شد [14] و سپس توسط دویر در سال 1989 [15] بهبود یافته است. این روش یک روش حل دو مرحله‌ای است که در مرحله اول معادلات مومنتوم با استفاده از میدان فشار مرحله پیشین (در اولین گام زمانی با استفاده از حدس اولیه) حل می‌شوند. در مرحله دوم تصحیح کننده‌های فشار و سرعت با یک معادله پاآسون محاسبه و حوزه سرعت و فشار تصحیح می‌شوند [14].

### 4- اعتبارسنجی حل عددی و استقلال نتایج از شبکه

تغییرات مقدار متوسط زمانی عدد ناسلت در طی تعامل ذره کروی با یک ورتكس منفرد در موقعیت اولیه 10 شاعع ذره در جریان بالا دست و  $\sigma = 0$ ، با شاعع هسته  $\sigma = 4$  و بیشینه سرعت مماسی  $V_{max} = 0.3$  و ضریب پسای آن در جریان کلاسیک (جریان بدون ورتكس بر ذره کروی بدون چرخش) به صورت تابعی از زمان بی‌بعد ( $\tau$ ) در  $Re = 100$  در شکل 4 آورده شده و با نتایج دیگر محققان مقایسه شده است. این شکل نیز نشان دهنده تطابق بسیار خوب نتایج حل عددی حاضر با نتایج دیگر محققان است. همان‌طور که مشاهده می‌شود نرخ انتقال حرارت از ذره کروی به کمترین مقدار خود در  $\tau \approx 11$  که ورتكس کاملاً در زیر ذره قرار گرفته می‌رسد، سپس با حرکت ورتكس در زیر ذره و تماس آن با دنباله پشتی به دلیل افزایش اثرات هم‌رفتی در این ناحیه نرخ انتقال حرارت از ذره تا زمان  $\tau = 16$  که ورتكس در آخرین تماس با دنباله است، افزایش می‌یابد. عدد ناسلت ذره با دورشدن ورتكس از ذره و حرکت آن به سمت جریان پایین‌دست به مقدار ثابت ضریب پسای ذره در جریان کلاسیک نزدیک می‌شود. قرارگیری ناگهانی ذره در میدان جریان در ابتدا مقادیر بزرگی از تنش برشی و فشار بر ذره ایجاد می‌کند و همان‌طور که در نتایج مربوط به مشاهده می‌شود نیروی پسای زیادی نیز بر ذره اعمال می‌شود؛ در نهایت به مقدار ثابت ضریب پسای ذره در جریان کلاسیک میل می‌کند. مقادیر مختلف برای عدد ناسلت ذره در  $Re = 100$  در تعامل با دو ورتكس مشابه به ازای چند شبکه با تعداد گره متفاوت برای بررسی استقلال نتایج از شبکه به دست آمده است. مقادیر عددی و بررسی صحت مستقل بودن نتایج از شبکه در مرجع [8] آورده شده است و در اینجا تکرار نخواهد شد.

### 5- نتایج

پس از اعتبارسنجی حل عددی صورت گرفته به بررسی جریان حول ذره در تعامل با 4-6 ورتكس با ساختار مشابه در  $Re = 100$  پرداخته می‌شود. در ادامه حوزه محاسباتی برای شبیه‌سازی ورتكس‌های تصادفی با شبیه‌سازی دو ورتكس مشابه و با در نظر گرفتن بیشترین تأثیر آن‌ها بر عدد ناسلت در

<sup>1</sup>Projection

با توجه به اندازه، قدرت، موقعیت اولیه نسبت به ذره و جهت گردش آن و همچنین با ایجاد یک میدان سرعت القایی چه اثراتی بر دینامیک و رفتار ذره در میدان جریان خواهد داشت، سپس با فرآخوانی دو ورتكس در حوزه محاسباتی که می‌تواند مدل ساده‌ای از یک جریان آشفته باشد، نتایج متفاوتی به دست آمده است که نشان می‌دهد دو ورتكس با توجه به جهت گردش اثرات متفاوتی بر رفتار ذره کروی می‌گذارند [7]، همچنین با توجه به نتایج ارائه شده در مرجع [8] مشاهد شد که با محدود کردن مطالعه به شبیه‌سازی دو ورتكس با شرایط هندسی و مکانی یکسان چگونه می‌توانند با جهت‌های گردش متفاوت بر توزیع دمای اطراف ذره در حال چرخش تأثیر گذارند و از روی آن عبور کنند.

با توجه به حضور ذرات کوچک در محفظه احتراق که محیطی بسیار آشفته است، یک ذره پیش از فرآیند احتراق با ورتكس‌هایی با ساختار و قدرت‌های گردشی متفاوت و تصادفی تعامل خواهد داشت. ورتكس‌هایی با اندازه، قدرت، جهت گردش و موقعیت‌های متفاوت نسبت به ذره که نمی‌توان برای حضور آن‌ها در میدان جریان حالت خاصی در نظر گرفت. در این راستا طراحی آزمایش‌هایی با در نظر گرفتن ساختارها و شرایط متفاوت برای ورتكس‌ها و عدم تشابه آن‌ها با یکدیگر (برخلاف مطالعه صورت گرفته در کار پیشین نویسنده‌گان این مقاله) و شبیه‌سازی آن‌ها در میدان جریان، می‌توان حد تقریبی از تغییرات نرخ انتقال حرارت از ذره را در یک میدان جریان گردابه‌ای به دست دهد. از این‌رو لازم است یک روش آزمایش مناسب برای معرفی و مدل‌سازی ورتكس‌هایی با حالت‌های تصادفی طراحی شود. در ابتدا محدوده‌ای برای شبیه‌سازی ورتكس‌ها تعیین شود که بیشترین تأثیر را بر یکدیگر می‌گذارند. از دو ورتكس برای به دست آوردن این محدوده و میسری‌ودن این عمل استفاده شده است.

### 3-3- تعیین حوزه تأثیر دو ورتكس

در این قسمت محدوده اثرگذاری دو ورتكس بر یکدیگر و بر رفتار ذره کروی به دست می‌آید. دو ورتكس که ابتدا در موقعیت اولیه  $x_0 = 10$  فرض شده و انحراف از محور آن‌ها به مقدار مساوی برای هر یک در محدوده  $0 \leq |x| \leq 6$  تغییر می‌کند. اثر تغییر موقعیت محوری آن‌ها بر رفتار ذره مورد بررسی قرار می‌گیرد و بدین صورت حوزه تأثیر دو ورتكس به دست خواهد آمد. در نهایت به بررسی اثر تعامل ورتكس‌های تصادفی بر  $Nu$  ذره کروی در حوزه تأثیر پرداخته خواهد شد.

در این پژوهش بدون در نظر گرفتن چرخش ذره که بر حرکت ورتكس‌ها تأثیر قابل توجهی خواهد داشت، مطالعه به ورتكس‌هایی با ساختار و شرایط اولیه مشابه محدود شده و حوزه تأثیر دو ورتكس به دست می‌آید. در این راستا ابتدا مقدار انحراف ورتكس‌ها از محور  $x$  از مقدار 1 برابر ساعت ذره کروی تا 6 برابر آن به صورت یکسان برای هریک افزایش می‌یابد و در هر بار مقادیر متوسط  $Nu$  ذره پادداشت می‌شود. این روند تا جایی پیش می‌رود که اثر تعامل ورتكس‌ها با ذره و همچنین اثر آن‌ها بر یکدیگر کاهش یابد و نتایج حاصل به نتایج مربوط به عبور جریان یکنواخت و پایدار از روی ذره کروی نزدیک شوند و محدوده  $\epsilon$  مورد نظر به دست آید.

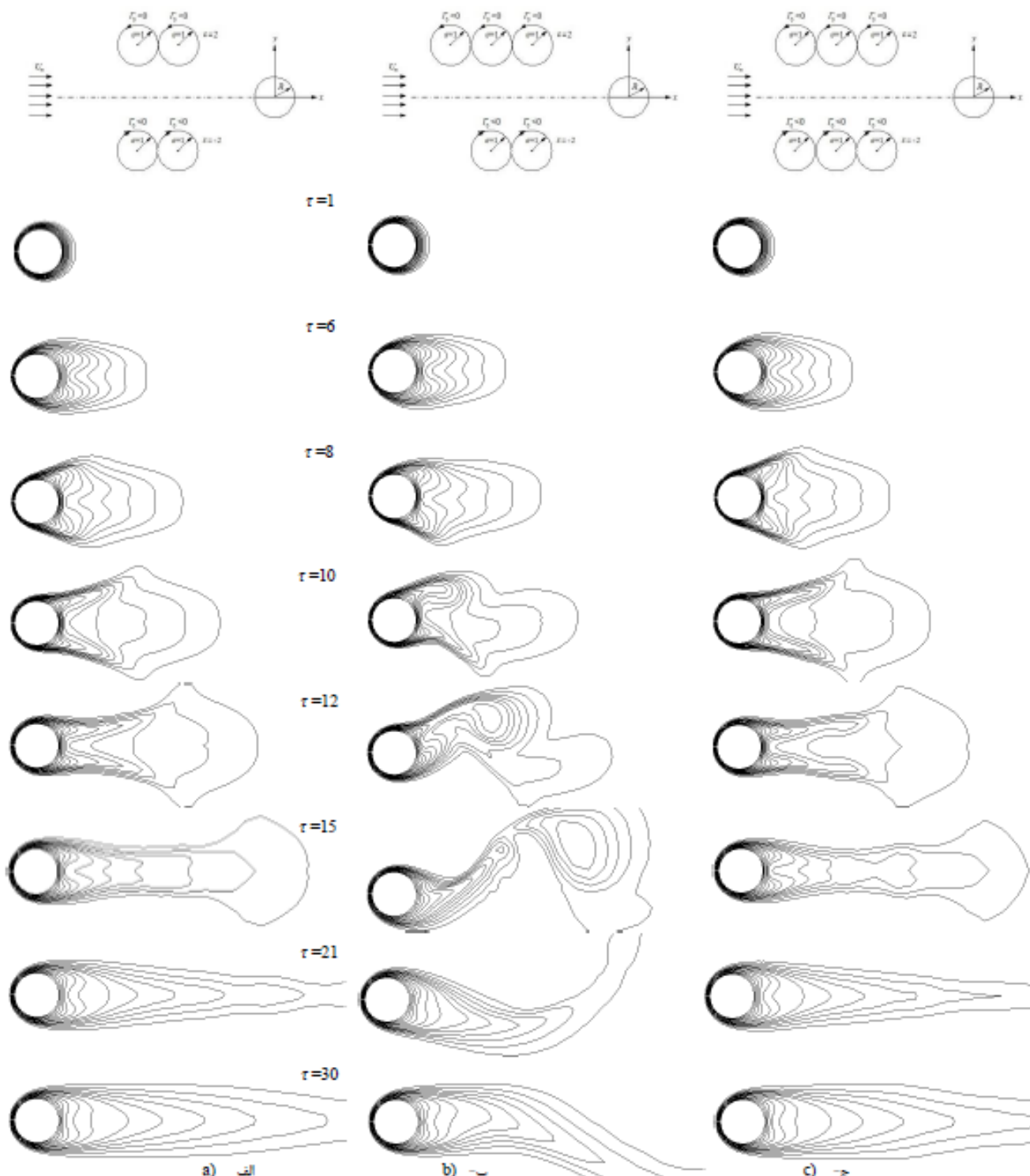
شکل 7 تغییرات حالت گذاری عدد ناسلت ذره کروی در طی عبور دو ورتكس با ساختار مشابه و در موقعیت‌های متفاوت در راستای محور  $x$  در نشان می‌دهد. هسته دو ورتكس با شعاع اولیه  $r_0 = 1$ ، قدرت  $V_{max} = 0.2$  با گردش یکسان پادساعت‌گرد در جریان قرار گرفته‌اند. متقارن محوری برای مقایسه آورده شده است.

ورتكس‌های پایینی با گردش ساعت‌گرد از ناحیه زیرین آن عبور می‌کنند. همان‌طور که مشاهده می‌شود الگوهای حرارتی سمت چپ با سمت راست شکل که به ترتیب مربوط به حضور 4 و 6 ورتكس در میدان جریان است، کاملاً مشابه یکدیگر هستند. در طی تعامل 6 ورتكس با ذره و افزایش شدت آشفتگی، خطوط دما ثابت نسبت به حضور 4 ورتكس در میدان جریان، کمی بیش از سطح ذره دور شده و به سمت جریان پایین دست کشیده شده‌اند. از طرفی با اضافه شدن یک ورتكس با گردش پادساعت‌گرد در بالای محور  $x$  به میدان جریان با تعداد 4 ورتكس (شکل 5)، الگوهای حرارتی متفاوت با دو حالت دیگر به دست آمده است. با قرار گرفتن 3 ورتكس در بالای ذره و بزرگ‌ترشدن حوزه گردابه‌ای در این ناحیه نسبت به پایین ذره خطوط دما در جریان پایین دست بیشتر به سمت بالای ذره کشیده می‌شوند. ورتكس‌ها در 12 در تعامل با دنباله ذره کروی قرار می‌گیرند و از زمان 18 در این دور می‌شوند، تا این‌که در 30 خطوط جریان در اطراف ذره به حالتی می‌رسد که تنها مربوط به حضور آن در میدان جریان آرام است.

خطوط جریان در اطراف ذره کروی در طی عبور 4-6 ورتكس از روی آن در شرایط مشابه با شکل 5 در شکل 6 نشان داده شده است. ورتكس‌ها در بالا و پایین محور  $x$  بر میدان سرعت یکدیگر تأثیر می‌گذارند که در این‌جا با توجه به جهت گردش پادساعت‌گرد و ساعت‌گرد به ترتیب برای ورتكس‌های بالای و پایینی سبب افزایش سرعت یکدیگر به سمت ذره کروی می‌شوند. در بازه زمانی  $1 \leq t \leq 30$  در ابتدا ورتكس‌ها از بالادست ذره به سمت آن حرکت می‌کنند که در زمان 8 به نزدیکی سطح جلوی آن می‌رسند. در شکل‌های 6-a و 6-b با نزدیکشدن ورتكس‌های بالای و پایینی به ذره و افزایش سرعت در خطوط جریان بر سطح ذره و قوی‌ترشدن ورتیسیتی در این ناحیه، جریانی رو به بالا و رو به پایین به ترتیب در سطح فوقانی و تحتانی ذره ایجاد می‌شود که سبب عبور ورتكس‌ها در بالای محور  $x$  از سطح بالای ذره و عبور ورتكس‌ها در پایین محور از سطح زیرین آن می‌شود. از طرفی در طی تعامل 5 ورتكس با ذره، حضور 3 ورتكس در بالای محور  $x$  نسبت به حضور 2 ورتكس در پایین محور، موجب عدم تقارن در میدان جریان و تشکیل میدان گردابه‌ای با جهت گردش پادساعت‌گرد در نزدیکی ذره می‌شود؛ همچنین جریانی رو به پایین در بالادست ورتكس‌ها و جریان رو به بالا در پایین دست آن‌ها ایجاد می‌شود که سبب جایه‌جایی نقطه سکون جلوی ذره می‌شود (شکل 6-c). ورتكس‌های بالایی با جهت گردش پادساعت‌گرد بر ورتكس‌های پایینی با  $0.7m$  در زمان برخورد ورتكس‌ها با سطح جلوی ذره غلبه کرده و کمی به سمت ناحیه زیرین ذره کشیده می‌شوند. ورتكس‌های زیر محور  $x$  در 10 در قسمتی از ورتكس‌های بالای محور از زیر ذره عبور کرده که سبب برهم خوردن تقارن در دنباله پشتی ذره نسبت به دو شکل دیگر (6-a,b) می‌شوند. خطوط جریان با دور شدن ورتكس‌ها از ذره در اطراف ذره به حالت حضور آن در میدان جریان متقارن محوری نزدیک می‌شود.

### 5-2- بررسی رفتار یک ذره در یک میدان جریان آشفته

در مطالعات گذشته اثر تعامل یک و دو ورتكس با در نظر گرفتن حالت‌ها و مقادیر مختلف قدرت، اندازه، جهت گردش و انحراف از محور ( $0 \leq x \leq 10$ ) آن‌ها بر ضریب انتقال حرارت از یک ذره کروی بررسی شد. مشاهده شد که جریان آشفته در اطراف یک ذره را می‌توان به صورت جریان آرام و حامل ساختارهای گردابه‌ای (ورتكس) شبیه‌سازی کرد و اثر این ساختارها را در حوزه دمای اطراف ذره مشاهده و بررسی کرد. در این راستا تعامل یک ورتكس با یک ذره کروی شبیه‌سازی و مطالعه شد که نشان داد یک ورتكس



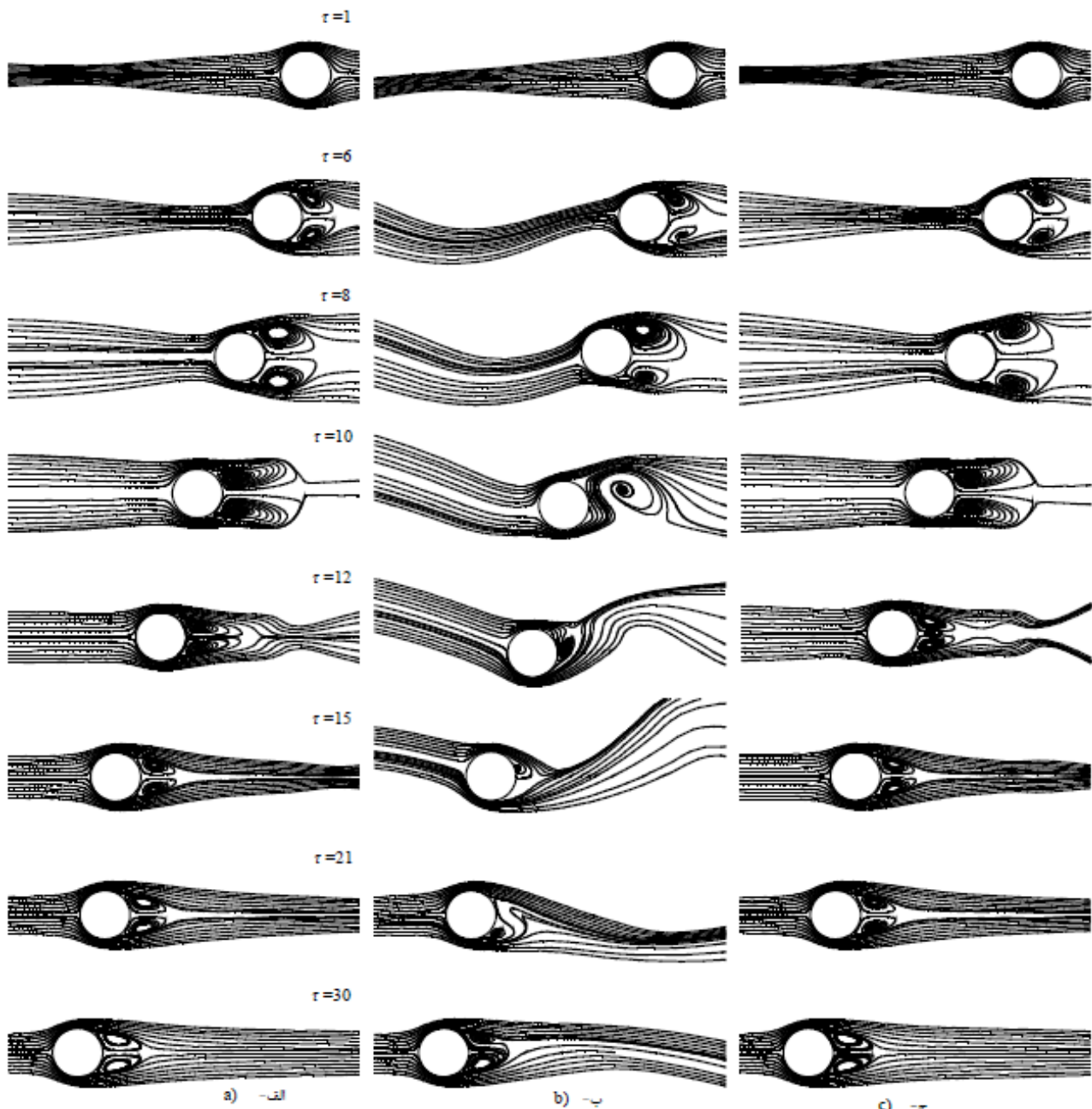
**Fig. 5** Isotherms of the spherical particle at  $Re=100$  with  $\Delta T=0.05$  for  $0.05 \leq T \leq 0.95$  interacting with: a- 4 vortexes, b- 5 vortexes, and c- 6 vortexes at the same conditions of  $V_{max}=0.4$ ,  $\sigma=1$  and top-negative and bottom-positive circulations

شکل ۵ خطوط دما ثابت ذره کروی در  $Re=100$  با  $\Delta T=0.05$  در تعامل با: الف- ۴ ورتكس، ب- ۵ ورتكس، و ج- ۶ ورتكس در شرایط یکسان  $V_{max}=0.4$  و گردش‌های بالا-منفی و با پین-مشیت  $\sigma=1$

انحراف از محور  $x$  برای حوزه تأثیر ورتكس‌ها با توجه به تغییرات  $Nu$ -  
 $3 \leq \epsilon \leq 3$  در نظر گرفته می‌شود.

محدوده تغییرات موقعیت ورتكس‌ها در راستای محور  $x$  با در نظر گرفتن هسته ورتكس اول در موقعیت  $x_0=10$  به صورت ثابت و متفاوت برای ورتكس دوم بدست می‌آید؛ با این فرض که هر دو بر محور  $x$

زمانی عدد ناسلت با توجه به شکل در تعامل دو ورتكس با جهت‌های گردش یکسان پاد ساعت‌گرد و با افزایش  $\epsilon$  از مقدار  $4 \leq \epsilon \leq 3$  به بعد، به نتایج مربوط به عبور جریان بدون ورتكس از روی ذره نزدیک می‌شوند. در واقع اثر دو ورتكس بر یکدیگر و ذره روبه کاهش است و جریان در اطراف ذره کروی به حالت یکنواخت نزدیک می‌شود. در نتیجه محدوده تغییرات



**Fig. 6** Streamlines of the spherical particle at  $Re=100$  interacting with: (a) 4 vortices, (b) 5 vortices, and (c) 6 vortices under the same conditions as figure 5

شکل 6 خطوط جریان در اطراف ذره کروی در  $Re=100$  در تعامل با: (a) 4 ورتكس، (b) 5 ورتكس، و (c) 6 ورتكس در شرایط مشابه با شکل 5

اول برای مقایسه آورده شده است. با توجه به شکل نمودار زمانی  $Nu$  از مقدار  $|x_{02}|=15$  به بالاتر به منحنی تغییرات عدد ناسلت ذره در تعامل با یک ورتكس نزدیک می‌شود. این بدان معنی است که اثر ورتكس دوم بر ورتكس اول که نزدیکتر به ذره است، با افزایش فاصله آن‌ها از یکدیگر از این مقدار به بعد در حال کاهش است؛ به گونه‌ایی که در  $x_{02}=-18$  منحنی تغییرات عدد ناسلت تا زمانی که ورتكس دوم به نزدیکی ذره می‌رسد ( $\tau \approx 13$ ) تقریباً مشابه با نمودار  $Nu$  ذره در حالت تعامل با یک ورتكس است. محدوده تغییرات  $x_0$  برای ورتكس دوم و براساس این نتایج به صورت  $-11 \leq x_0 \leq -14$  در نظر گرفته می‌شود، محدوده‌ای که ورتكس‌ها می‌توانند بیشترین تأثیر را بر یکدیگر گذارند.

( $\varepsilon=0$ ) قرار گرفته باشند. ورتكس دوم که دورتر از ذره کروی قرار دارد در هر مرحله از انجام آزمایش به اندازه یک شعاع ذره ( $R$ ) از موقعیت اول  $x_0=-11$  در راستای  $-x$  جابه‌جا می‌شود. مطالعه به بررسی اثرات متقابل دو ورتكس مشابه با جهت‌های گردش یکسان پادساعتگرد،  $V_{max}=0.2$  و  $\sigma=1$  در  $\varepsilon=0$  در  $Re=100$  محدود می‌شود. شکل 8 تغییرات حالت گذراي عدد ناسلت ذره را در طی عبور دو ورتكس به صورت تابعی از موقعیت محوری ورتكس دوم ( $x_{02}$ ) نشان می‌دهد.

محدوده تغییرات  $x_{02}$  از 10 تا 18 برابر شعاع ذره از مرکز آن تغییر می‌کند. نمودار  $Nu$  ذره در تعامل با یک ورتكس در موقعیت مشابه با ورتكس

میدان جریان در نظر گرفت. از آن جا که حوزه تأثیر دو ورتكس با در نظر گرفتن شرایط هندسی مشابه به صورت  $-11 \leq x_0 \leq -3$  و  $3 \leq x_0 \leq 5$  به دست آمده در بررسی اثر ساختارهای گردابهای تصادفی بر رفتار ذره، تمامی ورتكس‌ها در این محدوده شبیه‌سازی می‌شوند. در زیر محدوده تغییرات پارامترهای ورتكس مانند قدرت، جهت گردش،  $\sigma$  و  $\epsilon$  نهاده به طور خلاصه آورده شده است:

- قدرت ورتكس‌ها ( $V_{max}$ ): تغییر  $V_{max}$  از 0.4 - 0.1
- متغیر بودن جهت گردش ورتكس‌ها بین دو حالت ساعت‌گرد ( $\Gamma > 0$ ) و پادساعت‌گرد ( $\Gamma < 0$ ) متغیر
- موقعیت محوری ورتكس‌ها ( $x_0$ ): برای تمامی ورتكس‌ها غیر از ورتكس اول که به صورت ثابت برابر با  $x_0 = -10$  در نظر گرفته شده، میان 10-14 واحد (شعاع ذره کروی-یک واحد) متغیر است.
- اندازه هسته ورتكس‌ها ( $\sigma$ ): دامنه تغییر آن از 0.5 تا 3
- انحراف از محور ورتكس‌ها ( $\epsilon$ ) که بازه تغییر آن بین 0 تا 3 در بالا و پایین محور  $x$

مقادیری که برای اندازه، موقعیت و بیشینه سرعت مماسی ورتكس در نظر گرفته می‌شود در زمان  $\tau = 0$  است. در ادامه روش و ابزار مناسب در به دست آوردن تعداد محاسبات مورد نظر برای بررسی تعامل ورتكس‌های بیشتر با ساختارهای متفاوت با ذره معرفی می‌شود. به دلیل زمان بر بودن انجام آزمایش‌ها و انتخاب ورتكس‌ها با ساختار و موقعیت‌های متفاوت از محدوده یاد شده از نرم‌افزار اکسل استفاده شده است.

در این پژوهش فرض شده که هسته ورتكس‌ها بدون هیچ تداخلی با یکدیگر در حوزه محاسباتی شبیه‌سازی شوند، در حالی که حوزه سرعت القایی حاصل از هر یک بر یکدیگر اثر می‌گذارد. با استفاده از امکان فرمول‌نویسی در اکسل به تولید دایره (هسته ورتكس‌هایی با اندازه و موقعیت‌های تصادفی در حوزه محاسباتی پرداخته می‌شود. حالت‌های بسیاری از قرارگیری این دایره‌های تصادفی با تکرار این فرمول در تعداد زیادی سطر تولید می‌شود. در مرحله بعد داده‌های به دست آمده را به ورقه جدید منتقل و با افزوندن یک شرط که در هریک از حالت‌ها، دایره‌ها با یکدیگر هم‌پوشانی نداشته باشند، حالت‌های موردنظر از میان تمام حالت‌ها فیلتر می‌شود.

### 5- بررسی تعامل ورتكس‌های تصادفی با ذره کروی

در شبیه‌سازی ورتكس‌ها با موقعیت‌ها و ساختارهای تصادفی در میدان جریان و بررسی اثر آن‌ها بر نرخ انتقال حرارت از ذره کروی، ابتدا با انتخاب 10 حالت از نمونه‌های به دست آمده از فرمول‌نویسی در اکسل برای ساختار و شرایط اولیه هسته ورتكس‌ها محاسبات انجام شده است. برای به دست آوردن محدوده تغییرات ضریب انتقال حرارت ذره، به صورت مستقل از تعداد حالت‌های مورد بررسی، این روند تا تعداد حالت‌های بیشتری ادامه می‌یابد. در جدول 1 نمونه‌های طراحی شده برای قرارگیری هسته چهار ورتكس در میدان جریان آورده شده است. نتایج به دست آمده در هر حالت با متوسط‌گیری برای عدد ناسلت در بازه  $\tau \leq 30$  برای 4-6 ورتكس در شکل 9 ارائه شده است. مقدار متوسط عدد ناسلت در جریان بر ذره کروی در حالت عدم تعامل با ورتكس برای مقایسه آورده شده است.

مقایسه این نتایج برای 4-6 ورتكس نشان می‌دهد که می‌توان محدوده‌ای را برای تغییر رفتارهای حرارتی ذره در یک میدان جریان گردابهای با تعداد ورتكس 4 تا بیشتر در نظر گرفت. با توجه به شکل 9 با در نظر گرفتن 21 حالت تصادفی برای شرایط و ساختار اولیه ورتكس‌ها، محدوده

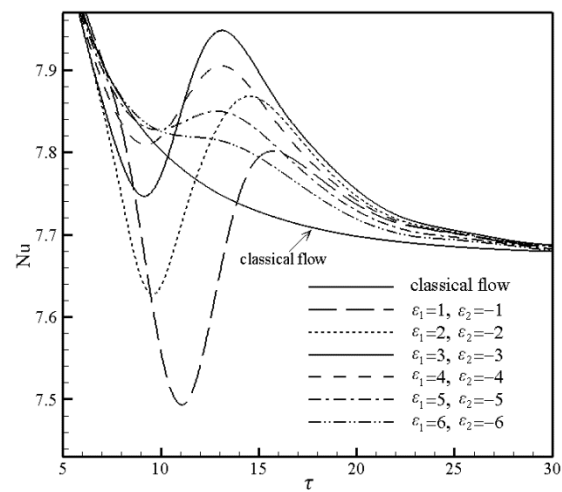


Fig. 7 Time variation of the heat transfer coefficient of the spherical particle interacting with a pair of vortexes as a function of vortices offset positions

شکل 7 تغییرات زمانی مقدار متوسط ضریب انتقال حرارت ذره کروی در تعامل با یک جفت ورتكس به صورت تابعی از انحراف از محور ورتكس‌ها

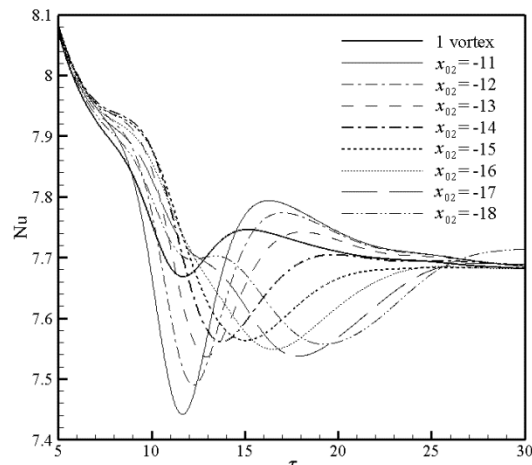


Fig. 8 Time variation of the heat transfer coefficient of the spherical particle interacting with a pair of vortexes as a function of the axial positions of the second vortex

شکل 8 تغییرات زمانی مقدار متوسط ضریب انتقال حرارت ذره کروی در تعامل با یک جفت ورتكس به صورت تابعی از موقعیت محوری ورتكس دوم

### 5- طراحی آزمایش‌ها

اثرات ناپایدار تعامل ورتكس و ذره به وسیله 4 پارامتر اندازه هسته ورتكس ( $\sigma$ )، موقعیت انحراف از محور ورتكس ( $\epsilon$ )، بیشینه سرعت مماسی ورتكس ( $V_{max}$ ) و جهت گردش آن به دو صورت پادساعت‌گرد ( $\Gamma < 0$ ) و ساعت‌گرد ( $\Gamma > 0$ ) مشخص شده است. مقادیر بیشینه سرعت مماسی در لبه هسته ورتكس در محدوده  $0.1 \leq V_{max} \leq 0.4$  تغییر می‌کند که می‌تواند نشان‌دهنده سطح نوسانات سرعت به وجود آمده در میدان جریان یکنواخت به دلیل وجود ساختارهای گردابهای باشد. محدوده یاد شده برای  $V_{max}$  در تطابق با شدت آشفتگی‌های به وجود آمده در احتراق اسپری انتخاب شده است، که به طور عمومی در محدوده 40%-40% سرعت جریان یکنواخت ورودی است [16]. محدوده موردنظر در بررسی اثر اندازه هسته ورتكس بر دینامیک ذره 0.5 ≤ σ ≤ 0.7 است که با بررسی دیگر مطالعات انجام شده پارامتری آزاد است و می‌توان ورتكس‌هایی با شعاع‌های کوچک‌تر، مساوی و بزرگ‌تر از شعاع ذره در

همچنین بیشینه قدرت 0.4 برای آن‌ها در نظر گرفته شده است. این شرایط مربوط به حالتی است که ورتكس‌ها می‌توانند بیشترین تغییرات را در حوزه‌های سرعت و دمای اطراف ذره کروی به وجود آورند.

بررسی اثر اندازه ورتكس‌ها با پارامتری به نام  $AR^1$  به صورت رابطه (13) برای بزرگی ورتكس‌ها با پارامتری به نام  $Nu$  معروفی شده است. این پارامتر نسبت مساحت اشغال شده توسط هسته ورتكس‌ها به مساحت کل را مستطیلی به طول و عرض 12 و 10 نشان می‌دهد.

$$AR = 3.14 \cdot (\sigma_1^2 + \sigma_2^2 + \sigma_3^2 + \sigma_4^2)/120 \quad (13)$$

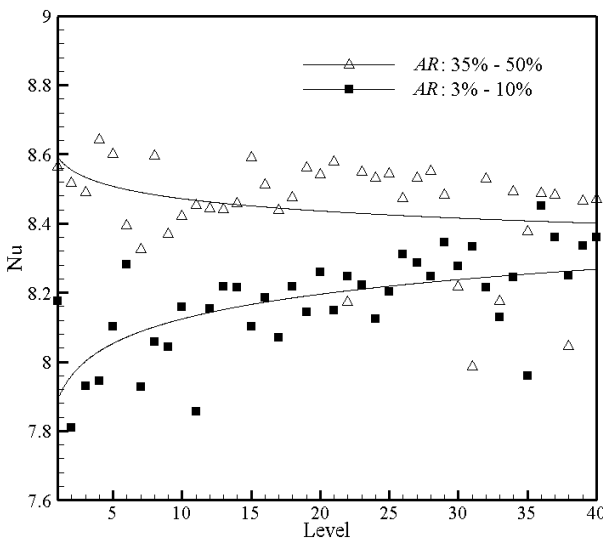
مساحت کل با در نظر گرفتن حوزه‌ای با  $x_0$  از -6 تا 6 و  $\varepsilon$  از 6 تا 14 با  $x_0=-14$  و  $\varepsilon=3$  در 4 موقعیت  $\sigma=3$  باشد. این حوزه مماس است، بدست آمده است. ناگفته نماند هسته ورتكس‌ها با داشتن اندازه و موقعیت‌های متفاوت بدون هیچ تداخلی با یکدیگر در حوزه محاسباتی که همان حوزه تأثیر دو ورتكس است، شبیه‌سازی شده‌اند.

در شکل 10 نتایج برای تعامل 4 ورتكس با ذره کروی به‌ازای ورتكس‌های بزرگ با  $AR$  بیشتر از 35% تا حوزه 50% و ورتكس‌های کوچک با  $AR$  کمتر از 10% تا 3% نشان داده شده است. با توجه شکل بیشینه و کمینه مقادیر  $Nu$  به ترتیب برای ورتكس‌هایی با بیشترین و کمترین بزرگی در میدان جریان بدست آمده که نشان می‌دهد با در نظر گرفتن شرایط پیکسان برای هسته 4 ورتكس، هرچه اندازه آن‌ها ( $\sigma$ ) بزرگ‌تر باشد (در  $\varepsilon=0$ ، نرخ انتقال حرارت از ذره بیشتر می‌شود و بر عکس).

شبیخ خط روند برای اعداد ناسلت با  $AR$  35% تا 50% منفی است که بیانگر کاهش  $Nu$  به‌ازای کاهش در اندازه هسته ورتكس‌هاست؛ از طرفی دیگر، برای ورتكس‌هایی با  $AR$  3% تا 10% خط روند افزایش  $Nu$  را به‌ازای افزایش در اندازه هسته ورتكس‌ها نشان می‌دهد.

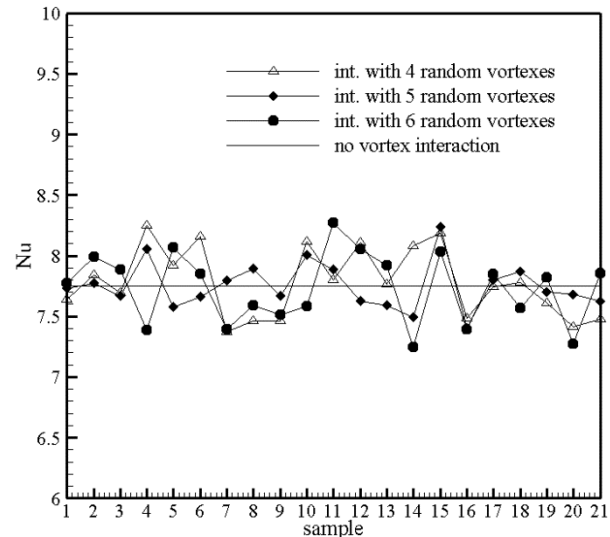
## 6- نتیجه‌گیری

در این پژوهش به مطالعه اثر تعامل چند ورتكس تصادفی با یک ذره کروی



شکل 10 تغییرات عدد ناسلت ذره کروی در طی تعامل با 4 ورتكس تصادفی با بیشترین و کمترین مقادیر  $AR$

<sup>1</sup> Area Ratio



شکل 9 تغییرات عدد ناسلت ذره کروی در تعامل با 4، 5 و 6 ورتكس تصادفی

تغییرات عدد ناسلت بین 7-8.5 تخمین زده می‌شود. در واقع در طی تعامل ورتكس‌ها با تعداد 4 و یا بیشتر با ذره، عدد ناسلت تقریباً در محدوده‌ای نزدیک به مقادیر مربوط به عبور جریان متقارن محوری از روی ذره تغییر خواهد کرد. در این راستا تنها 4 و یا 5 ورتكس می‌تواند به خوبی اثرات یک محیط گردابهای با تعداد بیشتری از ورتكس‌ها را بر نرخ انتقال حرارت از یک ذره کروی پیش‌بینی کند که به مقدار قابل توجهی بر زمان محاسبات عددی تأثیر می‌گذارد.

در جدول 2 بیشترین و کمترین تغییرات لحظه‌ای عدد ناسلت ذره در طی تعامل با 4 تا 6 ورتكس با یکدیگر مقایسه شده‌اند. در واقع از میان 21 حالت برای توزیع تصادفی ورتكس‌ها، بیشینه و کمینه  $Nu$  لحظه‌ای ذره نسبت به عدد ناسلت آن در جریان متقارن محوری در بازه زمانی  $5 \leq t \leq 30$  به صورت جداوله برای هر سه حالت تعامل 4، 5 و 6 ورتكس با ذره در جدول 2 آورده شده است.

با توجه به جدول می‌توان بیان کرد بیشترین تغییر لحظه‌ای عدد ناسلت ذره برای هر سه حالت در طی برخورد و عبور 4 تا 6 ورتكس با ذره تقریباً یکسان است، در حالی که ذره در طی تعامل با 4 ورتكس می‌تواند در لحظه‌ای کمترین مقدار  $Nu$  را داشته باشد. به علاوه حد تغییرات لحظه‌ای عدد ناسلت ذره در یک میدان جریان گردابهای می‌تواند به صورت 17.7% افزایش و 18.4% کاهش نسبت به مقدار آن در یک جریان متقارن محوری (در بازه  $5 \leq t \leq 30$ ) باشد.

## 5- بررسی اثر اندازه ورتكس‌ها در حوزه تأثیر

در این بخش اثر اندازه اولیه هسته ورتكس‌ها و فضای اشغال شده توسط آن‌ها بر ضریب انتقال حرارت ذره کروی بررسی شده است. با مطالعه تنها 4 ورتكس و با استفاده از اکسل 40 حالت تصادفی برای موقعیت و شاعع هسته ورتكس‌ها در دو حالت ورتكس‌ها با بزرگ‌ترین و کوچک‌ترین اندازه ممکن برای هسته آن‌ها بدست آمده است، همچنین شرایط یکسانی به صورت گردش یکسان پادساعت‌گرد برای ورتكس‌هایی که در بالا و بر محور  $x$  قرار می‌گیرند، و گردش ساعت‌گرد برای آن‌هایی که در پایین محور قرار دارند و

جدول 1 نمونه‌های طراحی شده با استفاده از اکسل برای چهار ورتكس

Table 1 Obtained samples with using of Excel for 4 vortices																		شماره نمونه		
$V_{\max 4}$	$4\Gamma$	$\sigma_4$	$\varepsilon_4$	$x_{04}$	$V_{\max 3}$	$3\Gamma$	$\sigma_3$	$\varepsilon_3$	$x_{03}$	$V_{\max 2}$	$2\Gamma$	$\sigma_2$	$\varepsilon_2$	$x_{02}$	$V_{\max 1}$	$1\Gamma$	$\sigma_1$	$\varepsilon_1$	$x_{01}$	
0.1	<0	1	-2	-14	0.1	<0	2	2	-14	0.1	<0	1	-3	-12	0.1	<0	0.5	-3	-10	1
0.2	>0	1	-3	-13	0.2	<0	0.5	1	-12	0.2	<0	1	-1	-12	0.1	<0	1	2	-10	2
0.3	<0	0.5	2	-14	0.3	>0	0.5	3	-10	0.3	<0	1	0	-11	0.1	<0	0.5	2	-10	3
0.4	>0	0.5	-1	-11	0.4	>0	1	-3	-14	0.4	<0	2	2	-12	0.1	<0	0.5	-2	-10	4
0.3	<0	0.5	-2	-10	0.2	<0	0.5	-2	-14	0.1	>0	1	-1	-12	0.2	<0	3	3	-10	5
0.4	>0	1	-3	-12	0.1	<0	0.5	3	-12	0.2	>0	1	1	-12	0.2	<0	1	3	-10	6
0.1	<0	0.5	0	-10	0.4	>0	0.5	-2	-14	0.3	>0	3	3	-13	0.2	<0	0.5	1	-10	7
0.2	>0	0.5	2	-14	0.3	>0	0.5	2	-10	0.4	>0	0.5	0	-12	0.2	<0	0.5	-1	-10	8
0.4	<0	3	-3	-14	0.3	<0	1	3	-14	0.1	<0	1	1	-10	0.3	>0	0.5	-2	-10	9
0.3	>0	0.5	0	-12	0.4	<0	1	2	-11	0.2	<0	1	0	-10	0.3	>0	0.5	-2	-10	10
0.2	<0	2	-2	-13	0.1	>0	1	2	-10	0.3	<0	1	3	-14	0.3	>0	0.5	-2	-10	11
0.1	>0	1	3	-10	0.2	>0	1	-3	-12	0.4	<0	2	3	-14	0.3	>0	0.5	0	-10	12
0.2	<0	1	-2	-13	0.4	<0	0.5	3	-12	0.1	>0	1	-2	-11	0.4	>0	1	0	-10	13
0.1	>0	0.5	-3	-13	0.3	<0	1	1	-14	0.2	>0	0.5	-1	-11	0.4	>0	0.5	-3	-10	14
0.4	<0	1	3	-13	0.2	>0	0.5	-1	-11	0.3	>0	1	-3	-12	0.4	>0	0.5	-1	-10	15
0.3	>0	0.5	-3	-14	0.1	>0	1	-3	-12	0.4	>0	1	-1	-14	0.4	>0	1	2	-10	16
0.1	<0	1	-2	-14	0.1	<0	1	-1	-12	0.1	<0	0.5	2	-11	0.1	<0	0.5	3	-10	17
0.2	>0	1	-2	-14	0.2	<0	2	2	-14	0.2	<0	1	-3	-12	0.1	<0	0.5	-3	-10	18
0.3	<0	1	-3	-13	0.3	>0	0.5	1	-12	0.3	<0	1	-1	-12	0.1	<0	1	2	-10	19
0.4	>0	0.5	2	-14	0.4	>0	0.5	3	-10	0.4	<0	1	0	-11	0.1	<0	0.5	2	-10	20
0.3	<0	0.5	-1	-11	0.2	<0	1	-3	-14	0.1	>0	2	2	-12	0.2	<0	0.5	-2	-10	21

اثرات یک محیط گردابهای با تعداد بیشتری از ورتكس‌ها را بر نرخ انتقال حرارت از یک ذره کروی پیش‌بینی کند که به مقدار قابل توجهی بر زمان محاسبات عددی تأثیر می‌گذارد.

با مقایسه تغییرات لحظه‌ای عدد ناسلت ذره در طی تعامل با 4 تا 6 ورتكس با در نظر گرفتن 21 حالت برای توزیع تصادفی آن‌ها در میدان جریان نشان داده شده که ذره می‌تواند به صورت لحظه‌ای حداقل افزایش 17.7% در یک جریان متقارن محوری تجربه کند. در بررسی اثر اندازه ورتكس‌ها و فضای اشغال شده توسط آن‌ها بر نرخ انتقال حرارت از ذره کروی، مطالعه تنها بر هسته 4 ورتكس در حوزه تأثیر دو ورتكس در نزدیکی ذره انجام شد. با معرفی پارامتر  $AR$  به صورت تابعی از شاعر بی بعد هسته ورتكس‌ها و با در نظر گرفتن شرایط یکسان برای هسته آن‌ها و نیز تعیین خط روند برای اعداد ناسلت به دست آمده، در دو حالت بیشترین و کمترین مقادیر ممکن برای نشان داده شد که هرچه اندازه اولیه هسته ورتكس‌ها بزرگ‌تر باشد نرخ انتقال حرارت از ذره بیشتر شده و بر عکس.

جدول 2 مقایسه بیشترین و کمترین تغییرات لحظه‌ای Nu ذره در تعامل با ورتكس

تعامل 4 ورتكس با ذره	تعامل 5 ورتكس با ذره	تعامل 6 ورتكس با ذره
-14.1%	+17.2%	
-13.2%	+17.7%	
-18.4%	+17.7%	

در میدان جریان لرج و تراکم‌ناپذیر با استفاده از حل عددی معادلات ناویر-استوکس و انرژی و همچنین تعیین حد تغییرات ضریب انتقال حرارت ذره در یک میدان جریان گردابهای پرداخته شد. گستینه‌سازی این معادلات در دستگاه مختصات عمومی غیرمتعادم و شبکه‌بندی در دستگاه مختصات کروی انجام شد. با تعیین حوزه تأثیر دو ورتكس بر یکدیگر و ذره و با استفاده از فرمول نویسی در نرم‌افزار اکسل برای تعیین حالت‌های تصادفی و متفاوت برای قرارگیری و شرایط اولیه هسته ورتكس‌ها، اثر حضور 4، 5 و 6 ورتكس نرخ انتقال حرارت از ذره کروی بررسی و نتایج حاصل با یکدیگر مقایسه شد. مختصه از نتایج به دست آمده در زیر آورده شده است:

- با محدود کردن مطالعه به ورتكس‌هایی با ساختار و شرایط اولیه مشابه و بررسی تغییرات زمانی Nu، حوزه تأثیر دو ورتكس به صورت  $-14 \leq x_0 \leq -3$  برای ورتكس دوم که دورتر از ذره کروی در جریان بالادست آن قرار گرفته و  $-3 \leq x_0 \leq 5$  برای هر دو ورتكس به دست آمده، محدوده‌ای که دو ورتكس بیشترین تأثیر را بر یکدیگر و ذره می‌گذارند. محدوده تغییرات عدد ناسلت ذره کروی برای هر تعداد ورتكس با شیوه‌سازی 4 و 5 و 6 ورتكس در این محدوده و با استفاده از فرمول نویسی در اکسل برای بدست آوردن شرایط و ساختارهای متفاوت و تصادفی برای هسته ورتكس‌ها به دست آمد.
- مقایسه نتایج برای 4، 5 و 6 ورتكس نشان داد که عدد ناسلت تقریباً در محدوده‌ای نزدیک به مقادیر مربوط به عبور جریان متقارن محوری از روی ذره تغییر خواهد کرد که این محدوده به طور تقریبی بین 8.5-7 به دست آمده است. از سوی دیگر تنها 4 و یا 5 ورتكس می‌تواند به خوبی

## 7- فهرست عالیم

شعاع هسته ورتكس (μm)	a
ضریب پسا	$C_D$
نسبت مساحت ورتكس‌ها به کل	$AR$
قطر ذره (μm)	D
ضریب انتقال حرارت جایه‌جایی	h
ضریب انتقال حرارت هدایتی	k
بردار نرمال واحد	$\vec{n}$
عدد ناسلت	Nu
(Pa)	p
عدد پرانتل	Pr
شعاع ذره (μm)	R
عدد رینولدز	Re

- [2] I. Kim, S. E. Elghobashi, W. A. Sirignano, Unsteady flow interactions between an advected cylindrical vortex tube and a spherical particle, *Fluid Mechanics*, Vol. 288, No. 1, pp. 123-155, 1995.
- [3] M. Masoudi, W. A. Sirignano, The influence of an advecting vortex on the heat transfer to a liquid droplet, *International Journal Heat Mass Transfer*, Vol. 40, No. 15, pp. 3663-3673, 1997.
- [4] M. Masoudi, W.A. Sirignano, Vortex interaction with a translating sphere in a stratified temperature field, *Heat and Mass Transfer*, Vol. 41, No. 17, pp. 2639-2652, 1998.
- [5] H. Niazmand, M. Renksizbulut, Heat transfer from a rotating sphere interacting with a vortex, *Heat and Mass Transfer*, Vol. 47, No. 10-11, pp. 2269-2281, 2004.
- [6] H. Niazmand, M. Renksizbulut, Viscous interaction between a vortex tube and a rotating spherical particle, *Particle & Particle Systems Characterization*, Vol. 20, No. 1, pp. 47-61, 2003.
- [7] I. Kim, S. Elghobashi, W. A. Sirignano, Unsteady flow interaction between a pair of advected vortex tubes and a rigid sphere, *Multiphase flow*, Vol. 23, No. 1, pp. 1-23, 1997.
- [8] Z. Talebpour, H. Niazmand, Analyzing the effect of particle rotation on its heat transfer rate while interacting with a pair of vortices, *Modares Mechanical Engineering*, Vol. 16, No. 8, pp. 343-352, 2016 (in Persian فارسی)
- [9] A. Agrawal, A. K. Prasad, Measurements within vortex cores in a turbulent jet, *Fluid Engineering*, Vol. 125, No. 3, pp. 561-568, 2003.
- [10] S. K. Robinson, S. J. Kline, P. R. Spalart, Quasi-coherent structures in the turbulent boundary layer. Part II: Verification and new information from a numerically simulated flat-plate boundary layer, *Near Wall Turbulence, Proceedings of the Zaric Memorial Conference*, edited by S. J. Kline and N. H. Afgan, eds., Hemisphere, New York, pp. 218-247, 1989.
- [11] R. J. Adrian, K. T. Christensen, Z. C. Liu, Analysis and interpretation of instantaneous turbulent velocity fields, *Experiments in Fluids*, Vol. 29, No. 3, pp. 275-290, 2000.
- [12] A. Agrawal, A. K. Prasad, Properties of vortices in the self-similar turbulent jet, *Experiments in Fluids*, Vol. 33, No. 4, pp. 565-577, 2002.
- [13] H. Niazmand, M. Anbarsooz, Slip flow over micron sized particles at intermediate Reynolds number, *Mechanical Engineering*, Vol. 40, No. 2, pp. 67-76, 2010. (in Persian فارسی)
- [14] A. J. Chorin, Numerical solution of Navier-Stokes equations, *Mathematical Computation*, Vol. 22, No. 104, pp. 745-762, 1968.
- [15] H. A. Dwyer, Calculations of droplet dynamics in high temperature environments, *Progress in Energy & Combustion Science*, Vol. 15, No. 2, pp. 131-158, 1989.
- [16] G. M. Faeth, Mixing, transport and combustion in sprays, *Progress Energy Combustion Science*, Vol. 13, No. 4, pp. 293-345, 1987.

دما (بی بعد)	$T$
مختصات کروی	$r, \theta, \varphi$
سرعت جریان یکنواخت (ms <sup>-1</sup> )	$U_\infty$
مؤلفه‌های سرعت در مختصات $x, y, z$	$u, v, w$
بردار سرعت (بی بعد)	$\vec{V}$
بیشینه سرعت مماسی ورتسکس (بی بعد)	$V_{\max}$
عدد ویر	$We$
موقعیت اولیه ورتسکس ( $\mu\text{m}$ )	$x_i, y_i$
علایم یونانی	
لزجت سینماتیکی ( $\text{m}^2\text{s}^{-1}$ )	$v$
فاصله انحراف ورتسکس از محور $x$ (بی بعد)	$\varepsilon$
شعاع هسته ورتسکس (بی بعد)	$\sigma$
تنش سطحی ( $\text{Nm}^{-2}$ )	$\sigma'$
گردش ورتسکس ( $\mu\text{m}^2\text{s}^{-1}$ )	$\Gamma$
زمان (بی بعد)	$\tau$
مختصات عمومی غیرمتعادم	$\zeta, \eta, \xi$
تابع جریان ( $\mu\text{m}^2\text{s}^{-1}$ )	$\psi$
زیرنویس‌ها	
خاصیت جریان	$F$
سطح	$s$
جریان یکنواخت	$\infty$

## 8- مراجع

- [1] P. G. Saffman, *Vortex dynamic*, Cambridge: Cambridge University Press, pp. 20-45, 1992.